

LECTIA 7 : PROBLEME PALNE ÎN COORDONATE POLARE PP(CONTINUARE);PROBLEME POLAR – SIMETRICE (PPS)

7.1 Particularizări ale problemei Mitchell (fig. 7.1a ; 7.1b ; 7.1c)

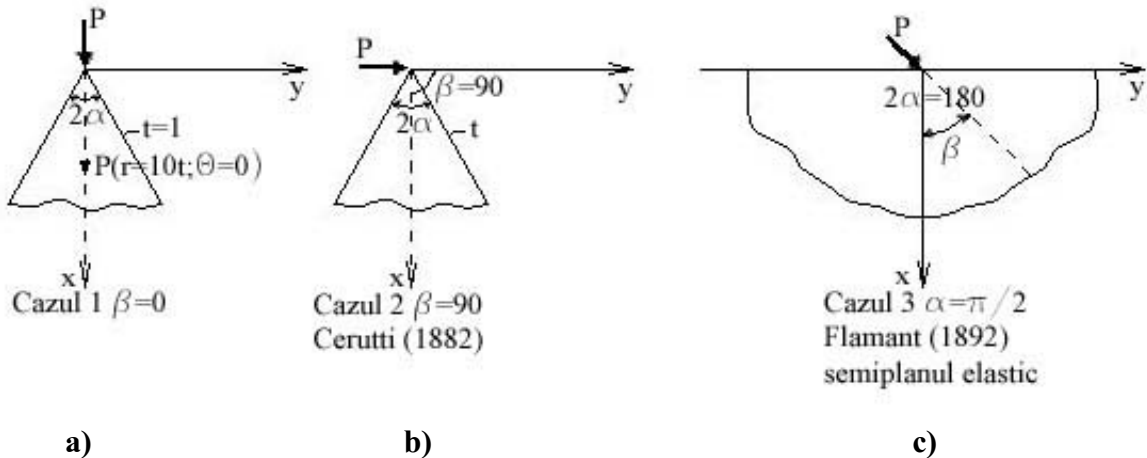


Fig. 7.1 Cazuri particolare ale problemei Mitchell

Soluțiile problemelor din fig. 7.1:

$$\left. \begin{array}{l} \sigma_r = -\frac{2P}{r} \left(\frac{\cos \theta}{2\alpha + \sin 2\alpha} + 0 \right) = -\frac{2P}{r} \frac{\cos \theta}{2\alpha + \sin 2\alpha} \\ \sigma_\theta = 0 \\ \tau_{r\theta} = 0 \end{array} \right\}$$

Fig.7.1a: $\beta = 0 \Rightarrow (1)$

$$\left. \begin{array}{l} \sigma_r = -\frac{2P}{r} \left(0 + \frac{\sin \theta}{2\alpha - \sin 2\alpha} \right) = -\frac{2P}{r} \frac{\sin \theta}{2\alpha - \sin 2\alpha} \\ \sigma_\theta = 0 \\ \tau_{r\theta} = 0 \end{array} \right\}$$

Fig.7.1b: $\beta = 90^\circ \Rightarrow (2)$

$$\left. \begin{array}{l} \sigma_r = -\frac{2P}{r} \left(\frac{\cos \theta \cos \beta}{\pi + 0} + \frac{\sin \theta \sin \beta}{\pi - 0} \right) = -\frac{2P}{\pi r} (\cos \theta \cos \beta + \sin \theta \sin \beta) \\ \sigma_\theta = 0 \\ \tau_{r\theta} = 0 \end{array} \right\}$$

➤ Fig.7.1c: $2\alpha = 180^\circ \Rightarrow (3)$

➤ **Ex. 7.1:** Particularizați soluția (1) pentru cazul particular $\alpha = 30^\circ$ și calculați eroarea:

$$\text{err \%} = \frac{\sigma_x^{RM} - \sigma_x^{TLE}}{\sigma_x^{TLE}} \cdot 100 \quad \text{unde } \sigma_x^{RM} \text{ este soluția în punctual } P(r = 10t; \theta = 0) \text{ iar}$$

σ_x^{TLE} este valoarea calculată cu TLE .

➤ Ex. 7.2 (seminar) fig.7.2 (a,b,c)

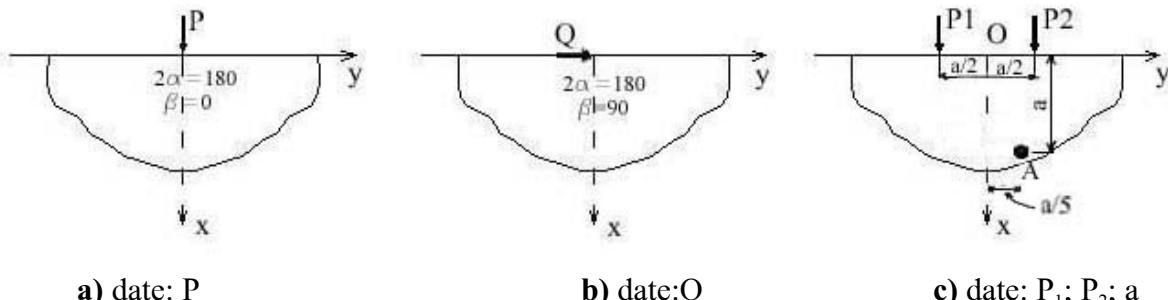
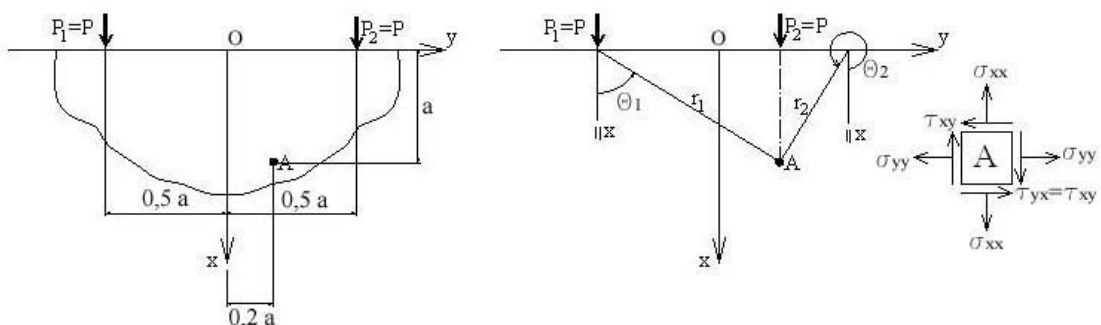


Fig.7.2(a,b,c): Aplicații pentru semiplanul elastic

➤ Ex.7.3: (fig. 7.3)

Date: P₁ ; P₂ ; a

Se cere : starea de tensiune în punctul A ($x = a$; $y = \frac{a}{5}$) și tensorul $\tilde{\sigma}_A$



a)Enuntul problemei 7.3 b)Parametrii problemei Flamant c)Matricea $\underline{\underline{\sigma}}_A$

Fig.7.3: Problema semiplanului elastic (Flamant). Exercițiul 7.3

Indicație: Problema se rezolvă în următoarele etape:

Etapa 1: Se determinează parametrii care definesc soluția Flamant:

$$r_1 = \sqrt{(0,7a)^2 + a^2} = r_2 \sqrt{(0,3a)^2 + a^2} = \dots$$

$$\theta_1 = \operatorname{arctg} \frac{0,7a}{a} = \operatorname{arctg} 0,7 = \dots$$

$$\theta_2 = \underbrace{360^\circ}_{(2\pi)} - \operatorname{arctg} \frac{0,3a}{a}$$

Etapa 2: Se calculează **tensiunile normale radiale** în punctul A, induse de forțele P₁ și P₂.

$$\sigma_r^{(1)} = \dots; \sigma_\theta^{(1)} = \tau_{r\theta}^{(1)} = 0$$

$$\sigma_r^{(2)} = \dots; \sigma_\theta^{(2)} = \tau_{r\theta}^{(2)} = 0$$

Etapa 3: Se realizează trecerea la coordonatele carteziene (fig. 7.3c) și se construiește tensorul $\tilde{\sigma}_A$, folosind baza canonică a reperului cartezian OXY (a se rezolva ca la seminar!)

$$\tilde{\sigma}_A = \underline{i}^T \otimes \underline{\underline{\sigma}}_A \underline{i}$$

➤ Ex: 7.3: $\underline{\underline{\sigma}}_A = \begin{bmatrix} \sigma_{xx} & \tau_{xy} \\ \tau_{yx} & \sigma_{yy} \end{bmatrix} \rightarrow \text{seminar}$

7.2 . Probleme plane polar-simetrice (PPS) - fig.7.4

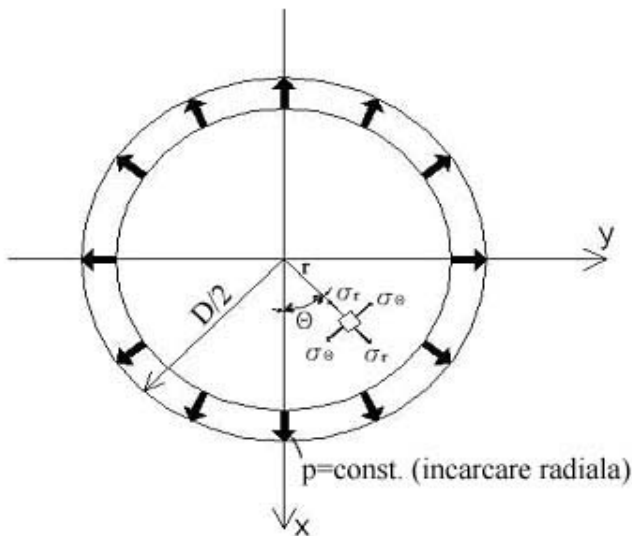


Fig.7.4 :Definirea problemelor polar – simetrice (PPS)

Definirea PPS : aceste probleme se definesc pe domenii circulare (pline sau cu gol central).

Caracterizare:

- $u_\theta = 0; \frac{\partial}{\partial \theta} = 0$ (fenomenul nu variază în raport cu θ)
 - grosimea $t=\text{const.}$ pe întreg domeniul (șaibă circulară plină de diametrul D)
 - încărcarea: polar-simetrică
- b. Exemple practice : (fig. 7.5; 7.6 ; 7.7)

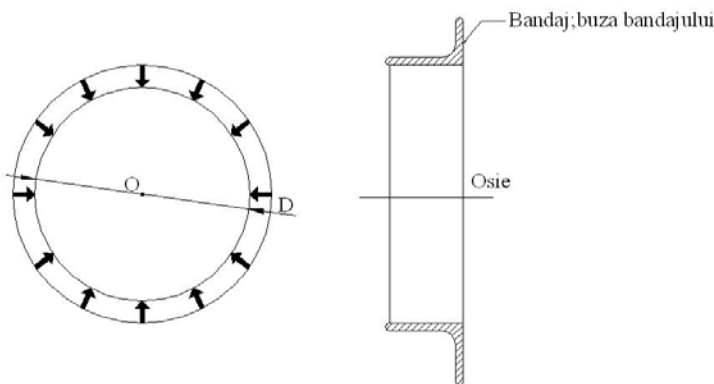


Fig. 9. Saiba preintinsa;bandajul rotii

Fig.7.5 řaibă precomprimată (bandajul rojii, preincălzit, se aplică pe roată)

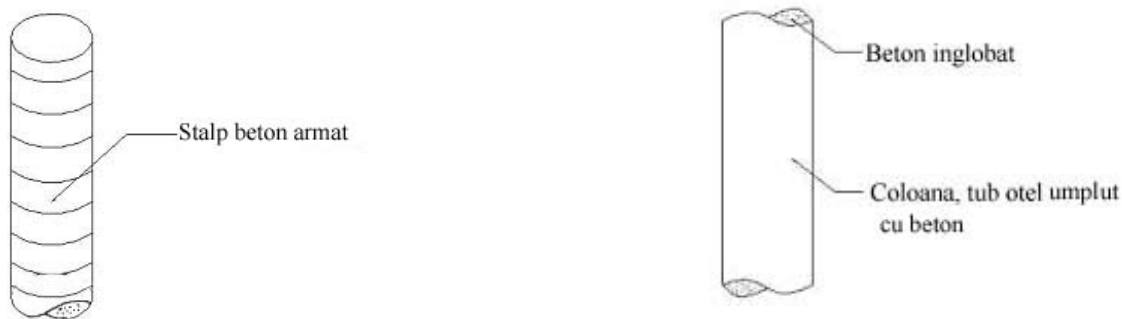


Fig. 7.6: Procedeul fretării: cilindrul este “fretăt” prin aplicarea unei frete (sârme) pe contur, circular și cu pas uniform.

Fig. 7.7 : Coloană tub otel cu beton înglobat (pentru fundații de poduri)

➤ Teoria PPS:

➤ Ex.7.4: Particularizați studiile (S); (G); (F) pentru PPS

Indicații : Dispar $\frac{\partial}{\partial \theta}$; $\tau_{r\theta} = \tau_{\theta r} = 0$

$$(S1)_{PP} \Rightarrow (S1)_{PPS} : \frac{\partial \sigma_r}{\partial r} + \frac{1}{r} \frac{\partial \tau_{r\theta}}{\partial \theta} + \frac{\sigma_r - \sigma_\theta}{r} + \rho f_r = 0 \Rightarrow \frac{d\sigma_r}{dr} + \frac{\sigma_r - \sigma_\theta}{r} + \rho f_r = 0$$

Forțele masice ρf_r se pot prezenta în două variante:

1. $\rho f_r = 0$ în probleme statice, când se neglijiază greutatea proprie;

2. $\rho f_r \neq 0$ când există forțe centripete (radiale) – fig. 7.8

Consideră numai cazul $\rho f_r = 0$; rezultă:

$$(S1)_{PPS} : \frac{d\sigma_r}{dr} + \frac{\sigma_r - \sigma_\theta}{r} = 0 \quad 2 \text{ necunoscute . } \sigma_r, \sigma_\theta \Rightarrow \text{GNS} = 2 - 1 = 1 \text{ (o dată interior static nedeterminată)}$$

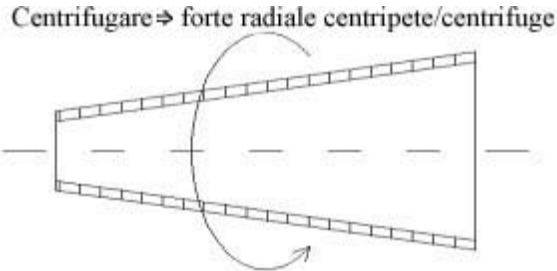


Fig. 7.8: Forțe radiale rezultate prin centrifugare (stâlpuri circulare din beton armat , prefabricați)

$$(G1)_{PP} \left\{ \begin{array}{l} \varepsilon_r = \frac{\partial u_r}{\partial r} \\ \varepsilon_\theta = \frac{u_r}{r} + \frac{1}{r} \frac{\partial u_\theta}{\partial \theta} \\ \gamma_{r\theta} = \frac{1}{r} \frac{\partial u_r}{\partial \theta} + \frac{\partial u_\theta}{\partial r} - \frac{u_\theta}{r} \end{array} \right. \quad (G1)_{PPS} \left\{ \begin{array}{l} \varepsilon_r = \frac{\partial u_r}{\partial r} = \frac{du}{dr} \\ \varepsilon_\theta = \frac{u_r}{r} = \frac{u}{r} \\ \gamma_{r\theta} = 0 \end{array} \right.$$

➤ Com:

- i) În studiul $(G1)_{PPS}$ există numai deplasări radiale; acestea pot fi notate simplu $u_r = u$
- ii) În problemele PPS apar 3 necunoscute: $\begin{cases} (S1)_{PPS} : \sigma_r \text{ si } \sigma_\theta & (2 \text{ nec}) \\ (G1)_{PPS} : u_r = u & (1 \text{ nec.}) \end{cases}$
- iii) Problema **PPS** este deci , static determinată! concluzie: (studiul **F**) nu intervine în sistemul de ecuații); problemele **PPS** sunt solubile fără intervenția ecuațiilor **(F)**.

➤ **Ex. 7.5:** Scrieți expresiile $\vec{\nabla}_{PP}, \vec{\nabla}_{PPS} \cdot \vec{\nabla}_{PPS} = \nabla^2_{PPS} = \Delta$ și $\nabla^4_{PPS} = (\nabla^2)^2$ (operator armonic ∇^2 și biarmonic ∇^4 pentru problema **PPS**).

Indicație:

$$\begin{aligned} \vec{\nabla}_{PP} &= \hat{e}_r \frac{\partial}{\partial r} + \hat{e}_\theta \frac{\partial}{r \partial \theta} \\ \vec{\nabla}_{PPS} &= \hat{e}_r \frac{\partial}{\partial r}; \text{ de ce?} \\ \nabla^2_{PPS} &= \nabla^2 = \frac{d}{dr^2} + \frac{1}{r} \frac{d}{dr} (\text{de ce?}) \\ (\nabla^2)_{PPS}^2 &= \left(\frac{\partial^2}{\partial r^2} + \frac{1}{r} \frac{d}{dr} \right)^2 = ? (\text{ indicații și rezolvare în Ex.7.6}) \end{aligned}$$

➤ Ex. 7.6: Să se scrie ec. de biarmonicitate Airy $\nabla^4 F(r) = 0$

Indicație:

$$\nabla^4 F(r) = \left(\frac{d^2}{dr^2} + \frac{1}{d} \frac{d}{dr} \right)^2 F(r) = 0 \dots \quad (4)$$

Răspuns:

$$(ecuación Airy) \quad \frac{d^4 F}{dr^4} + \frac{2}{r} \frac{d^3 F}{dr^3} - \frac{1}{r} \frac{d^2 F}{dr^2} + \frac{1}{r} \frac{dF}{dr} = 0 \dots\dots\dots(5)$$

➤ Com: Caracterizare și rezolvare a ecuației de biarmonicitate Airy.

Ecuația diferențială ordinată , de ordinul 4 , cu coeficienți variabili

$$\left(1, \frac{2}{r}, -\frac{1}{r^2}, \frac{1}{r^3}\right)$$

Substituție (Euler) $r = \lambda^t \Rightarrow t = \ln r \rightarrow \frac{dt}{dr} = \frac{1}{r}$

➤ Ex. 7.7: Efectuând substituția $r = \lambda^t$ aduceți ecuația (5) la forma (6)

➤ Com: Ecuația (6) este o ecuație diferențială ordinată , de ordinul 4 cu coeficienți constanti :

Demonstrație:

$$\frac{dF}{dr} = \frac{dF}{dt} \frac{dt}{dr} = \frac{dF}{dt} \frac{1}{r} = \frac{1}{r} \frac{dF}{dt}$$

$$\frac{d^2F}{dr^2} = \frac{d}{dr}\left(\frac{dF}{dr}\right) = \frac{d}{dr}\left(\frac{dF}{dt} \frac{1}{r}\right) = \frac{d^2F}{dt^2} \cdot \frac{1}{r^2} - \frac{dF}{dt} \cdot \frac{1}{r^2} = \frac{1}{r^2} \left(\frac{d^2F}{dt^2} - \frac{dF}{dt} \right)$$

$$\frac{d^3 F}{dr^3} = \dots$$

$$\frac{d^4 F}{dr^4} = \dots$$

➤ Ex.7.8 Obțineți soluția ec. (6) sub forma (7) sau (7') urmând metoda Euler.

Indicație : se scrie ecuația caracteristică în R, căreia i se calculează rădăcinile:

$$R^4 - 4R^3 + 4R^2 = 0 \rightarrow R_{1,2} = 0.; \quad R_{3,4} = 0$$

Solutia Euler :

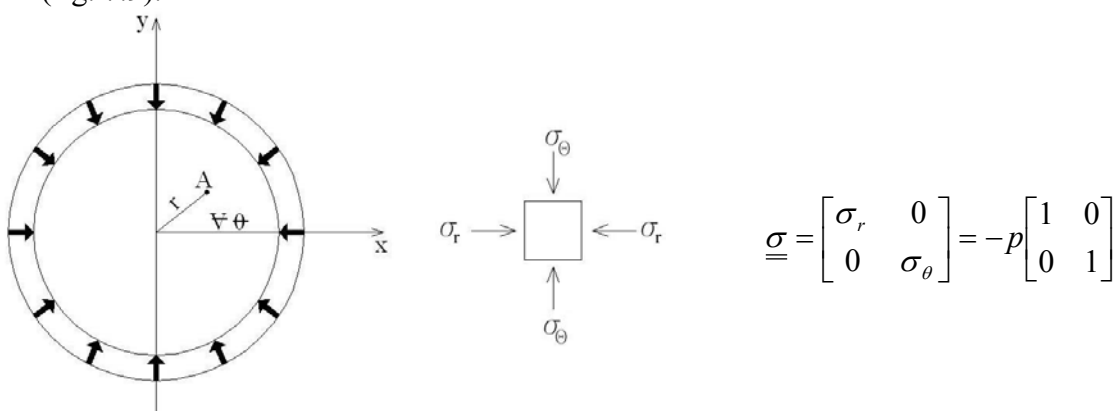
sau :

- **Ex. 7.9:** Cunoscând soluția $\mathbf{F}(\mathbf{r})$ (7') să se obțină expresiile pt: $\sigma_r = \frac{1}{r} \frac{dF}{dr}$ și

$$\sigma_\theta = \frac{d^2 F}{dr^2}$$

7.3 Aplicații PPS

- **Ex. 7.10:** Fig. 7.9 pentru enunțul Ex: 7.10: řaibă circulară cu bandaj ,stâlpul fretat (fig. 7.9).



a) definirea problemei: $p, r, \forall \theta$

b) Matricea σ

Stare de tensiune omogenă

Fig 7.9: Pentru enunțul ex. 7.10: șaibă circulară cu bandaj, stâlp freat

Condițiile problemei:

$$C_2 = C_4 = 0 \Rightarrow \sigma_\theta = \sigma_r = -p$$

- **Ex. 7.11** Tuburi cu pereti groși (fig.7.10)

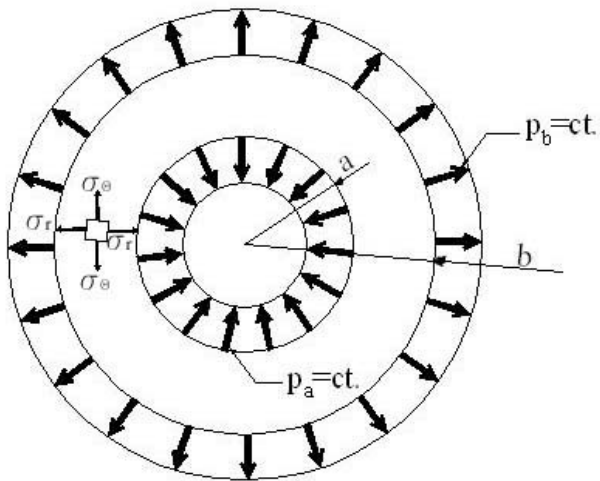


Fig. 7.10: Tuburi cu pereți groși

- a = raza interioară încărcarea radială p_a
 - b = rază exterioară încărcare radială p_b

[de ce ? $r \rightarrow 0 \Rightarrow \ln r$ nu există]

Rezultă: Rezolvare (9) în (10) $\Rightarrow \sigma_r; \sigma_\theta$

$$\Rightarrow \text{Com: } \sigma_r + \sigma_\theta = 2 \frac{p_b \cdot b^2 \cdot p_a \cdot a^2}{b^2 - a^2} = ct. \text{ (nu depinde de r)}$$

➤ Com: $\varepsilon_z|_{PPSE} = -\frac{v}{E}(\sigma_r + \sigma_\theta) = const.$
 (stâlpi lungi)

ε_s = deformăție specifică liniară în lungul stâlpului

Caz practice: Date: $a; b \rightarrow \infty$ și $p_a = 0; p_b = -p_0$ este cazul unui tub circular (conducte) pozată în apă la adâncime pentru transportul țăciului de la o platformă marină la rezervoarele rafinăriei

